

## НОВЫЙ МЕТОД

## В ТЕОРИИ СЛАБОНЕИДЕАЛЬНОГО ОДНОМЕРНОГО ФЕРМИ-ГАЗА

B.Я.Криевнов, A.A.Овчинников

Предложен регулярный метод получения энергии основного состояния спектра и корреляционных функций слабонеидеального одномерного ферми-газа.

Несмотря на то, что имеется ряд точных результатов в задаче о неидеальном одномерном ферми-газе [1 – 3], эта задача все же далека от полного решения. В частности, если потенциал взаимодействия даже и мал, но не  $\delta$ -образен, не существует регулярного метода для вычисления энергии, спектра и корреляционных функций в зависимости от константы взаимодействия. Методы суммирования "паркетных диаграмм" и ренорм-группы позволяют получить лишь ведущий член в соответствующих величинах [4, 5]. С другой стороны, сведение реального спектра к линейному по импульсу [6 – 8] не является строгим и, (во всяком случае), регулярным для вычисления соответствующих поправок. Целью нашего сообщения является разработка регулярного метода получения поправок для энергии, спектра и корреляционных функций слабонеидеального ферми-газа.

Здесь мы рассмотрим задачу о бесспиновом ферми-газе, оставляя спиновый случай для более подробной публикации.

Будем искать волновую функцию  $\Psi(x_1, \dots, x_N)$  системы бесспиновых ферми-частиц с гамильтонианом

$$\hat{H} = - \sum_{i=1}^N \frac{\partial^2}{\partial x_i^2} + \sum_{i>j}^N v(x_i - x_j); \quad (\hbar = 2m = 1) \quad (1)$$

в виде

$$\Psi(x_1, \dots, x_N) = \Psi_o(x_1, \dots, x_N) \phi(x_1, \dots, x_N), \quad (2)$$

где  $\phi(x_1, \dots, x_N)$  – симметричная функция, а  $\Psi_o(x_1, \dots, x_N)$  – волновая функция основного состояния (1) при  $V(x) = 0$ , которая с точностью до нормировки равна ( $N$  – нечетное):

$$\Psi_o(x_1, \dots, x_N) = \prod_{i>k} \sin \frac{\pi}{L}(x_i - x_k) \quad (L – \text{длина системы}), \quad (3)$$

Подставляя (2) в уравнение  $\tilde{H}\Psi = E\Psi$  приходим к уравнению

$$\tilde{H}\phi = (E - E_0)\phi, \quad (4)$$

где  $E_0$  — энергия основного состояния (1) при  $V(x) = 0$ , а  $\tilde{H}$  имеет вид

$$\tilde{H} = -\sum_{i=1}^N \frac{\partial^2}{\partial x_i^2} - 2\frac{\pi}{L} \sum_{i>j} \operatorname{ctg} \frac{\pi}{L} (x_i - x_j) \left( \frac{\partial}{\partial x_i} - \frac{\partial}{\partial x_j} \right) + \sum_{i>j} V(x_i - x_j); \quad (5)$$

Ввиду того, что  $\phi(x_1, \dots, x_N)$  — симметричная функция, задача о нахождении волновой функции системы ферми-частиц сводится согласно (4) к соответствующей задаче для системы бозонов с гамильтонианом (5).

Для решения (4) воспользуемся известным в теории слабонеидеального бозе-газа регулярным методом построения волновых функций основного и слабовозбужденных состояний, предложенным Боголюбовым и Зубаревым [9]. Применимость этого метода к одномерной задаче исследовалась в работе Попова [10]. В соответствии с [9] в ведущем по  $V(x)$  приближении  $\phi(x_1, \dots, x_N)$  для основного состояния имеет вид

$$\phi(x_1, \dots, x_N) = \exp \left\{ \sum_{ij}^N S(x_i - x_j) \right\} \quad (6)$$

причем

$$\sigma(k) = \pi(k^2 + 2p_F|k| - \sqrt{(k^2 + 2p_F|k|)^2 + 2\pi^{-1}p_F k^2 \nu(k)}) / 4p_F k^2; \\ \sigma(0) = 0, \quad (7)$$

где  $\sigma(k)$  и  $\nu(k)$  — фурье-образы  $S(x)$  и  $V(x)$  соответственно,  $p_F$  — импульс Ферми исходной системы фермионов. Для энергии основного состояния  $E_{\text{осн}}$  и спектра элементарных возбуждений  $\epsilon(k)$ , имеющих бозевский характер, получим

$$E_{\text{осн}} - E_0 = (2\pi)^{-1} p_F [N\nu(0) - \sum_{k=0} \nu(k) - 4 \sum_k k^2 \sigma(k)], \quad (8)$$

$$\epsilon(k) = [(k^2 + 2p_F|k|)^2 + 2p_F\pi^{-1}k^2\nu(k)]^{1/2}.$$

Если пренебречь членом  $k^2$  в комбинации  $k^2 + 2p_F|k|$ , то (8) совпадут с соответствующими выражениями полученными Либом и Маттисом в [7]. Отметим, однако, что полученные нами результаты справедливы лишь при  $\nu(k)/p_F \ll 1$ . При этом, в частности,  $\sigma(k)$  принимает вид

$$\sigma(k) = -\nu(k)/4(k^2 + 2p_F|k|). \quad (9)$$

Рассмотрим теперь вопрос о вычислении корреляционной функции  $g(x, x') = \langle \Psi | a^\dagger(x) a(x') | \Psi \rangle$  в основном состоянии (1) ( $a^\dagger(x)$ ,  $a(x)$  — операторы рождения и уничтожения ферми-частиц). Можно показать,

что она имеет вид

$$g(x, x') = \langle e^{T_0} a^+(x) a(x') e^{T_0} \rangle_0 / \langle e^{2T_0} \rangle_0, \quad (10)$$

где  $\langle \dots \rangle_0$  — означает усреднение с волновой функцией (3), а

$$\hat{T}_0 = \int_0^L dz \int_0^L dz' S(z - z') n(z) n(z'); \quad n(z) = a^+(z) a(z). \quad (10)$$

удобно преобразовать к виду

$$g(x, x') = \exp\{2S(0) - 2S(\zeta)\} \langle e^{2(T_0 + T_1)} a^+(x) a(x') \rangle_0 / \langle e^{2T_0} \rangle_0, \quad (11)$$

где  $\hat{T}_1 = \int_0^L [S(z - x') - S(z - x)] n(z) dz; \quad \zeta = x' - x$  и при переходе от

(10) к (11) мы воспользовались коммутацией  $\hat{T}_0$  и  $\hat{T}_1$ . Вычисление (11) будем производить диаграммным методом. Выражая средние в (11) через вклады лишь связанных диаграмм, придем к соотношению (в дальнейшем использовано импульсное представление):

$$\begin{aligned} & \left\langle e^{2(T_0 + T_1)} a^+(x) a(x') \right\rangle_0 \underset{\text{СВ}}{=} \frac{\sum_{n=1}^{\infty} \frac{2^n}{n!} \langle (T_0 + T_1)^n \rangle_0}{e} \\ & = g_0(\zeta) + \frac{1}{L} \sum_{p, q, n=1} e^{-ip\zeta + iqx} \frac{2^n}{n!} \langle (T_0 + T_1)^n a_{p+q}^+ a_p \rangle_0 \underset{\text{СВ}}{=} \end{aligned} \quad (12)$$

$g_0(\zeta) = (\pi \zeta)^{-1} \sin p_F \zeta$  — корреляционная функция основного состояния (1) при  $V(x) = 0$ . Диаграммы, соответствующие (12) состоят из замкнутых петель, соединенных линиями взаимодействия  $T_0$ . При этом в каждой петле произведено суммирование по всем частичным и дырочным линиям и в соответствии с (12) возможно два типа петель, графически изображенных на рис. 1. Вклад петли, к которой присоединено  $n$ -линий взаимодействия  $T_0$  равен

$$\sum_{k=0} \frac{1}{k!} Q_{n+k, \alpha}(q_1, \dots, q_n, p_1, \dots, p_k) \tilde{\sigma}(p_1) \dots \tilde{\sigma}(p_k), \quad (13)$$

где  $\alpha = 1, 2$  соответствуют рис. 1, a и б,  $\tilde{\sigma}(q) = \sigma(q)(\exp(i q \zeta) - 1)$

$$Q_{m,1}(q_1, \dots, q_m) = \sum_{p_1, \dots, p_m} \langle a_{p_1+q_1}^+ a_{p_1} \dots a_{p_m+q_m}^+ a_{p_m} \rangle_0 \delta_{q_1+ \dots + q_m, 0}, \quad (14)$$

$$Q_{m,2}(q_1, \dots, q_m) = \sum_{p_1, p_2, \dots, p_m} e^{-ip\zeta} \langle a_{p_1+q_1}^+ a_{p_1} \dots a_{p_m+q_m}^+ a_{p_m} a_{p+q}^+ a_p \rangle_{\text{CSB}} \delta_{q_1+\dots+q_m, -q}.$$

Члены с  $k \neq 0$  в (13) соответствуют "вкраплениям" в петли произвольного количества операторов  $T_1$ . Приведем без доказательства следующие утверждения, касающиеся свойств  $g(x, x') = g(\zeta)$  и функций  $Q_{n,a}(q_1, \dots, q_n)$ .

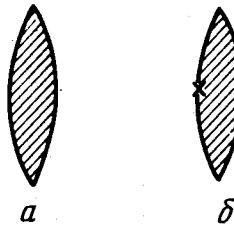


Рис. 1. Графическое изображение петель

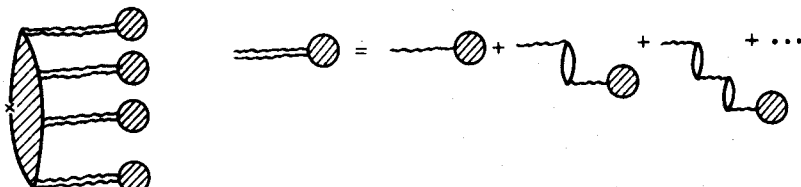


Рис. 2. Диаграммы, дающие ненулевой вклад в (12)

I. При вычислении  $g(\zeta)$  для  $\zeta \rightarrow \infty$  существенны лишь диаграммные вклады при  $|q_1|, \dots, |q_n| \rightarrow 0$ , т. е. поведение  $g(\zeta)$  при  $\zeta \rightarrow \infty$  определяется видом функций  $Q_{n,a}(q_1, \dots, q_n)$  при малых значениях  $q$  (более точно, при  $|q_1|, \dots, |q_n| < 2p_F$ ).

$$|q_1 + q_2|, \dots, |q_{n-1} + q_n| < 2p_F; |q_1 + q_2 + q_3| < 2p_F; \dots, |q_1 + \dots + q_n| < 2p_F.$$

Этот факт связан с расходимостью  $\sigma(q)$  при  $q \rightarrow 0$ .

$$\text{II. При малых } q \text{ (в смысле указанном в I)} Q_{n,1}(q_1, \dots, q_n) = \begin{cases} |q_1|, & n = 2 \\ 0, & n > 2 \end{cases}$$

$$Q_{n,2}(q_1, \dots, q_n) = (i\zeta)^{-1} \prod_{i=1}^n (1 - e^{-iq_i\zeta}) [e^{ip_F\zeta} \prod_{i=1}^n \theta(q_i) - e^{-ip_F\zeta} \prod_{i=1}^n \theta(-q_i)];$$

$$\theta(x) = \begin{cases} 1, & x > 0 \\ 0, & x < 0 \end{cases}.$$

С учетом II ряд (12) может быть просуммирован точно: единственными диаграммами, дающими ненулевой вклад, являются диаграммы вида. Суммируя эти диаграммы, получим для  $g(\zeta)$ :

$$g(\zeta) = g_o(\zeta) \exp\{-f_o(\zeta)\}; \quad f_o(\zeta) = 2\pi^{-2} \int_0^\infty dq (1 - \cos q\zeta) q \sigma^2(q) / (1 - 2q\pi^{-1}\sigma(q)). \quad (15)$$

Поскольку показатель экспоненты в (15)  $\sim \ln p_F \zeta$  для  $p_F \zeta \gg 1$ , функция распределения  $n_p = \langle \Psi | a_p^\dagger a_p | \Psi \rangle$  при  $p \approx p_F$  имеет вид

$$n_p = \frac{1}{2} \{ 1 + \text{sign}(p_F - p) |p - p_F|^\beta \}; \quad \beta = \nu^2(0)/32\pi^2 p_F^2. \quad (16)$$

Строгий анализ (12) показывает, что  $g(\zeta)$  при  $p_F \zeta \gg 1$  имеет вид

$$g(\zeta) = \exp\{-f_o(\zeta) + f_1(\nu, \zeta)\} \{g_o(\zeta) + \zeta^{-1} \sum_{n=2} \frac{(\nu/p_F)^n}{n!} \phi_n(\zeta)\}, \quad (17)$$

где  $f_1(\nu, \zeta)$  и  $\phi_n(\zeta)$  — неособенные при  $\zeta \rightarrow \infty$  функции. (17) не изменяет характера  $n_p$  (16).

Научно-исследовательский  
физико-технический институт  
им. Л.Я. Карпова

Поступила в редакцию  
20 апреля 1978 г.

## Литература

- [1] M. Gandin. Phys. Lett., A24, 55, 1967.
- [2] C.N. Yang. Phys. Rev. Lett., 19, 1312, 1967.
- [3] В.Я.Кривнов, А.А.Овчинников. ЖЭТФ, 67, 1568, 1974.
- [4] Ю.А.Бычков, Л.П.Горьков, И.Е.Дзялошинский. Письма в ЖЭТФ, 2, 146, 1965.
- [5] N.Menyhard, J.Solyom. J.Low Temp. Phys., 12, 529, 1973.
- [6] J.M.Luttinger, J.Math. Phys., 4, 1154, 1963.
- [7] D.C.Mattis, E.H.Lieb. J.Math. Phys., 6, 304, 1965.
- [8] И.Е.Дзялошинский, А.И.Ларкин. ЖЭТФ, 65, 410, 1973.
- [9] Н.Н.Боголюбов, Д.Н.Зубарев. ЖЭТФ, 28, 129, 1955.
- [10] В.Н.Попов. ТМФ, 30, 346, 1977.